### 著 於

# 3D-DESS序列与常规 SE序列对血友病性 关节病骨软骨病变 显示的对比\*

## 深圳市儿童医院放射科

(广东 深圳 518038)

曾伟彬 曾洪武 方佃刚

干芸根 曹卫国

【摘要】目的 探讨3D-DESS序列与常规 SE序列T2WI-TSE-FS序列、PDWI-TSE-FS 序列评估血友病性关节病骨软骨病变 的价值。方法 采用西门子SKYRA 3.0T MR I 对 27 个 关 节 ( 膝、 踝和 肘 ) 行磁 共 振 扫描,MRI序列包括三维双回波稳态 成像(three dimensional dual-echo steady state, 3D-DESS)、T2加权像快 速自旋回波脂肪抑制(T2WI-TSE-FS)、 质子加权脂肪抑制快速自旋回波(PDWI-TSE-FS)。应用国际血友病预防治疗 研究组(International Prophylaxis Study Group, IPSG)评分表,分别对关 节软骨损伤、骨表面侵蚀、小囊变进 行评分, 比较这三个序列的评分在评 估血友病性关节病骨软骨病变的结果 的差异, P<0.05具有统计学意义。结 ♣ 3D-DESS、T<sub>2</sub>WI-TSE-FS、PDWI-TSE-FS序列显示关节软骨病变的IPSG评分分 别为(2.00±1.24)、(0.48±0.75)、 (0.74±0.94), 3D-DESS序列关节软骨病 变IPSG评分明显高于常规SE序列,差异 具有统计学意义; 3D-DESS、T2WI-TSE-FS、PDWI-TSE-FS序列骨表面侵蚀的IPSG 评分分别 (0.89 ± 0.75)、(1.37 ± 0.69)、 (1.33±0.68), 常规SE序列的骨表面侵蚀 IPSG评分明显高于3D-DESS序列,差异具 有统计学意义; 三个序列的小囊变IPSG评 分差异不具有统计学意义。结论 3D-DESS 序列较T2WI-TSE-FS、PDWI-TSE-FS显示关 节软骨更清晰,是显示关节软骨病变的最 佳扫描序列之一, 对于诊断血友病性关节 病的关节软骨病变有较高的临床应用价

【关键词】双回波稳态; 血友病性关节 病;磁共振成像

【中图分类号】R554

【文献标识码】A

【基金项目】深圳市医疗卫生三名工程项 目资助(SZSM202011005)

**DOI:** 10. 3969/j. issn. 1672-5131. 2020. 12. 046

通讯作者: 曾洪武

# Comparison of 3D-DESS Sequences and Conventional SE Sequences on Bone Cartilage Lesions of Hemophiliac Arthropathy\*

ZENG Wei-bin, ZENG Hong-wu, FANG Dian-gang, et al. Department of Radiology, Shenzhen Children's Hospital, Shenzhen 518038, Guangdong Province, China

[Abstract] Objective To evaluate the value of 3D-DESS sequence and conventional SE sequence T<sub>2</sub>WI-TSE-FS sequence and PDWI-TSE-FS sequence in evaluating bone cartilage lesions of hemophiliac arthropathy. Methods Scanned 27 joints (knee, ankle and elbow) with Siemens SKYRA 3.0T MRI 3D-DESS, T2WI-TSE-FS, PDWI-TSE-FS sequences. Application of the International Prophylaxis Study Group (IPSG) score sheet, cartilage degradation, surface erosions involving subchondral cortex or joint margins and subchondral cysts were scored respectively. Comparing the scores of these three sequences in evaluating osteochondral lesions in hemophiliac arthropathy, P<0.05 is statistically significant. Result The IPSG scores of 3D-DESS, T2WI-TSE-FS and PDWI-TSE-FS articular cartilage lesions were (2.00+1.24), (0.48+0.75) and (0.74+0.94), respectively. The IPSG score of 3D-DESS sequence articular cartilage lesions was significantly higher than that of conventional sequences, and the difference was statistically significant. The IPSG scores of 3D-DESS, T2WI-TSE-FS and PDWI-TSE-FS sequences of bone surface erosion were  $(0.89 \pm 0.75)$ ,  $(1.37 \pm 0.69)$ ,  $(1.33 \pm 0.68)$ , respectively. The IPSG score of bone surface erosion in conventional SE sequences was significantly higher than that of 3D-DESS sequence, and the difference was statistically significant. There was no significant difference in IPSG scores among three sequences of subchondral cysts. Conclusion The 3D-DESS sequence shows clearer articular cartilage than T<sub>2</sub>WI-TSE-FS and PDWI-TSE-FS, and is one of the best scanning sequences for articular cartilage lesions. It has high clinical value in the diagnosis of articular cartilage lesions in hemophiliac arthropathy.

[Key word] Dual-echo Steady State (DESS); Hemophiliac Arthropathy; Magnetic Resonance Imaging

近年来,随着磁共振成像(MRI)技术的发展,MRI在关节的应用已 由常规的二维序列扫描向三维形态成像、功能成像发展。目前对软 骨显示较好的序列主要有三维双回波稳态成像(three dimensional dual-echo steady state, 3D-DESS)、三维扰相梯度回波(three dimensional spoiled gradient-recalled, 3D-FLASH)、多回波数据 联合成像(multi echo data imagine combination, MEDIC)以及真 实稳态快速梯度回波(true fast imaging with steady precession TrueFISP) 序列, 3D-FLASH序列在软骨信噪比及软骨与关节液对比信噪 比均高于3D-DESS, 3D-FLASH和TrueFISP序列成像时间比较长, 易出 现运动伪影,图像质量易影响,且对磁场不均匀比较敏感,容易出现 伪影。MEDIC序列具有高对比度,能减轻磁敏感伪影同时保持较高的空 间分辨率,缺点是成像时间较长。3D-DESS序列对关节软骨病损敏感 性也较高,有研究表明其对软骨病损的诊断率与3D-FLASH序列无显著 差异且成像时间明显缩短[1]。综合比较后,DESS序列是相对较为优化 的软骨磁共振序列[2],能较好地兼顾扫描时间和成像质量。选择合适 的序列进行检查对病变的准确显示起关键作用。本研究通过3.0T MRI 的3D-DESS序列与常规SE序列T2WI-TSE-FS序列、PDWI-TSE-FS序列矢状 位比较分析适合于血友病性关节 炎病变显示的最佳序列, 并运用 目前国际血友病预防治疗研究组 最新的评分系统(International prophylaxis study group , IPSG) [3]作为评估。

## 1 材料与方法

**1.1 研究对象** 收集2014年8 月至2018年5月我院就诊的18例经 临床实验室检查确诊为血友病甲 患儿的27个关节的MRI图像。

患儿年龄3~17岁,平均年龄 9.8岁,临床确诊均为血友病甲 的18例,血友病是X染色体隐性遗 传,大部分为男性发病,本病例 组均为男性患儿,其中膝关节8 个、踝关节16个, 肘关节3个。所 有受检儿童的家属均同意参加此 项研究并签署知情同意书。

1.2 MRI 检查方法 采用德国

西门子MAGNETOM Skyra 3.0T磁共 振扫描仪,不能配合的儿童扫描 前口服或直肠给10%水合氯醛溶液 镇静, 剂量为0.5mL/kg, 总量不 超过10mL, 待其熟睡后扫描。扫 描序列包括T1WI-TSE、T2WI-TSE-FS、PDWI-TSE-FS以及3D-DESS, 各扫描序列主要参数详见表1。

**1.3 MRI评分系统** MRI评分 应用世界血友病联盟国际血友病 预防治疗研究组(IPSG)影像评估 组织于2012年制定的评分系统(表 2)。IPSG主要分为两大类评分: 关节软组织关节积液/积血、滑膜 增厚、含铁血黄素沉积, 骨软骨 病变的骨表面侵蚀、关节面下骨 囊肿、关节软骨缺损方面分别对 关节病变严重程度进行全面评估 及量化,本次我们应用的是骨软 骨病变部分评分0~8分,0分为正 常,分数越高,则病变越严重。

> 1.4 统计学分析 由两名经

讨IPSG评分培训的高年资影像科 医师双盲法对图像讲行评估。运 用SPSS22.0软件进行统计分析。 统计学方法: 3D-DESS、T2WI-TSE-FS、PDWI-TSE-FS各组内等级资 料的比较采用Wilcoxon比较,P <0.05具有统计学意义。

#### 2 结 果

- 2.1 骨关节面侵蚀3D-DESS分 别与T。WI-TSE-FS、PDWI-TSE-FS 比较 差异有统计学意义, T<sub>2</sub>WI-TSE-FS、PDWI-TSE-FS评分均高于 3D-DESS (P<0.05)。 见表3
- 2.2 小囊变3D-DESS分别与 T,WI-TSE-FS、PDWI-TSE-FS比较 差异无统计学意义(P>0.05)。见 表4。
- 2.3 关节软骨损伤3D-DESS分 别与T,WI-TSE-FS、PDWI-TSE-FS **比较** 差异有统计学意义, $T_2WI$ -TSE-FS、PDWI-TSE-FS评分均低于 3D-DESS (P<0.05)。 见表5。

论

## 表1 膝关节MRI各成像序列参数比较

参数	$T_2WI-TSE-FS$	PDWI-TSE-FS	3D-DESS
TR (毫秒)	3600	3400	14
TE(毫秒)	72	33	5
FA(度)	150	150	60
F0V	190	190	150
矩阵	$384 \times 268$	$320\times224$	$256 \times 240$
激励次数	1	1	1
层厚(mm)	3	3	0.6
层距 (mm)	0.3	0.3	0.12

表2 IPSG MRI量表: 血友病性关节病评估

7 X	1201 102 10	IDWI IDE ID	SD DESS
TR (毫秒)	3600	3400	14
TE(毫秒)	72	33	5
FA(度)	150	150	60
FOV	190	190	150
矩阵	384 × 268	$320\times224$	$256 \times 240$
激励次数	1	1	1
层厚(mm)	3	3	0.6
层距 (mm)	0.3	0.3	0.12

骨软骨病变			评分	
	软骨下骨表面或关节边缘表面的骨侵蚀	任何骨表面出现骨侵蚀	1	
		至少1块骨出现关节表面一半或大于一半的骨侵蚀	1	
	小囊肿	至少1处关节面下囊肿	1	
		至少2块骨中出现软骨下囊肿,或至少1块骨累及三		
		分之一或以上关节表面下囊肿	1	
	关节软骨损伤	出现软骨破坏	1	
		至少1块骨的软骨厚度达到一半或以上	1	
		至少1块骨某一区域软骨完全缺失	1	
		关节软骨全层缺失,包括至少1块骨的软骨缺失达到		
		关节面的一半或以上	1	
骨软骨病变评分		最大8分		

讨

血友病是X性染色体隐性遗传 出血性疾病, 大部分由母亲传给 下一代男孩。根据缺乏凝血因子 的不同,分为血友病甲(第Ⅷ因 子)、血友病乙(第区因子)两型。

去2	二人庄矶	<b>唐圣节</b>	后倡仙部之	>IPSG评分
<b>ス</b> にり	ニハナツ	7 7 7 1	リイダ んぷ マトク	にしてのひとしろい

3D-DESS	T2WI-FSE-FS	PDWI-TSE-FS	Z	P
$0.89 \pm 0.75$	1. $37 \pm 0.69$		-2.667	0.008
$0.89 \pm 0.75$		1. $33 \pm 0.68$	-2.652	0.008

## 表4 三个序列小囊变部分IPSG评分

3D-DESS	T2WI-TSE-FS	PDWI-TSE-FS	Z	P
$0.52 \pm 0.80$	$0.67 \pm 0.83$		-1.414	0.157
$0.52 \pm 0.80$		$0.63 \pm 0.79$	-1.134	0.257

## 表5 三个序列关节软骨损伤部分IPSG评分

3D-DESS	T2WI-TSE-FS	PDWI-TSE-FS	Z	P
$2.00 \pm 1.24$	$0.48 \pm 0.75$		-4.166	0.001
$2.00 \pm 1.24$		$0.74 \pm 0.94$	-3.886	0.001

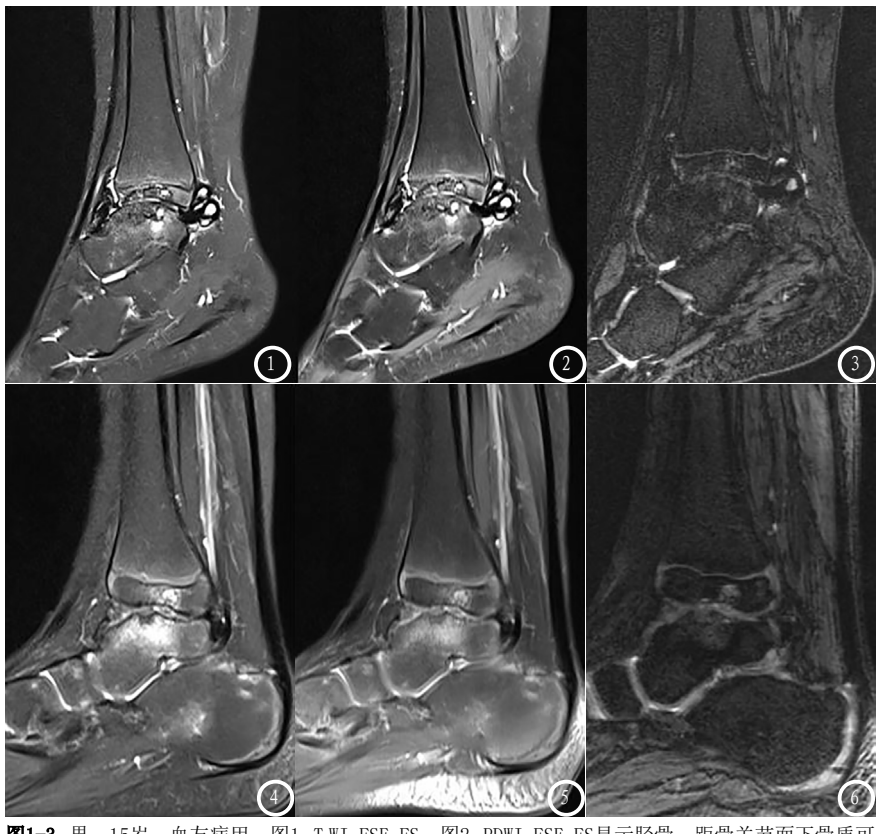


图1-3 男,15岁,血友病甲。图1 T<sub>2</sub>WI-FSE-FS;图2 PDWI-FSE-FS显示胫骨、距骨关节面下骨质可见大片高信号影,提示骨关节面侵蚀,伴小囊肿形成,胫距关节间隙变窄,骨关节面侵蚀、小囊变及软骨退变评分均为2分;图3 3D-DESS序列显示骨关节面侵蚀、小囊肿不如T<sub>2</sub>WI-FSE-FS、PDWI-FSE-FS序列清晰,但关节软骨显示较T<sub>2</sub>WI-FSE-FS、PDWI-FSE-FS清晰,软骨不均匀变薄,骨关节面侵蚀、小囊变评分均2分,软骨退变评分4分。图4-5 男,8岁,血友病甲。图4 T<sub>2</sub>WI-FSE-FS、图5 PDWI-FSE-FSP列显示骨关节面侵蚀、骨髓水肿较图6:3D-DESS序列清晰,病变信号较高,范围较大,骨关节面侵蚀、小囊变评分均为2分,软骨退变评分1分。图6 3D-DESS序列显示关节软骨呈中高信号,厚薄不均,提示部分软骨缺失,其内可见斑点状高信号影,提示损伤,骨关节面侵蚀评分2分,小囊变评分1分,软骨退变评分3分;T<sub>2</sub>WI-FSE-FS、PDWI-FSE-FS、3D-DESS序列均可显示胫骨远端骨骺小囊变。

关节出血是血友病的特征之一, 长期反复大量的出血可导致滑膜、关节软骨以及软骨下骨质的 一系列病理改变,晚期甚至可出现关节强直、畸形,给患者造成 很大的痛苦及较高的致残率。

血友病性关节病的特点是关

节内自发性或外伤出血铁沉积的刺激产生滑膜炎,伴随细胞因子的释放,反复的滑膜炎可导致软骨和软骨下骨的破坏<sup>[4]</sup>。最常见的靶关节为膝、踝、肘关节<sup>[5]</sup>,因此本研究将患儿的膝、踝、肘关节纳入受检关节。

国际血友病预防治疗研究组 (IPSG)影像评估组于2012年制定的MRI评分系统,分别从关节软组织(关节积液/积血、滑膜增厚、含铁血黄素沉积)及骨软骨病变(骨表面侵蚀、关节面下骨囊肿、关节软骨缺失)两方面对关节病变严重程度进行量化评估,通过细化关节软组织及软骨改变可早期发现细小病灶,可对血友病性关节病的治疗疗效进行评估。IPSG评分可作为早期、中期的血友病性关节病的预后和血友病的治疗做出评估。。

IPSG分别从关节软组织及骨 软骨两方面评价关节病情况, T<sub>2</sub>WI-FSE-FS、PDWI-FSE-FS显示小 囊变,骨髓水肿、关节腔积液比 较敏感且清晰,但常规SE序列层 厚较厚,关节软骨病变的显示敏 感性不高, 3D-DESS序列较T<sub>2</sub>WI、 PDWI序列具有连续薄层扫描、多 平面重建图像的优点,对于其他 3D序列具有扫描时间短、图像分 辨率高等优势,是目前对关节软 骨较为敏感的成像序列之一[6]。 3D-DESS序列在采集稳态进动快速 成像(fast imaging with steadystate precession, FISP)信号的 同时, 也采集反转稳态进动快速 成像(time reversal of FISP, PSIF)的信号,2个回波信号叠 加,增加了FISP的T2WI信号强度, 获得高信噪比且T2权重较重的图 像,可更好地显示关节积液、关 节软骨。3D-DESS图像上骨质、脂 肪显示为低信号,关节积液显示 为高信号,关节软骨显示为中高 信号,在骨关节成像时有良好的 软骨与液体的对比度[7],有利于 膝、踝、肘关节软骨变性、缺损 等病变的显示。

Eckstein等<sup>[8]</sup>的研究表明 3D-DESS序列在关节软骨成像方面,比其他常规序列具有更好的 信噪比,能准确显示关节软骨 病变。李洁等[9]的研究通过一组 膝关节病例讲行3D-DESS序列扫 描,并与关节镜结果对比,发现 该序列对软骨的损伤具有高特异 度和高敏感度。本研究结果显 示3D-DESS序列与T2WI-TSE-FS、 PDWI-TSE-FS比较发现, 3D-DESS 序列显示血友病性关节病软骨损 伤较常规SE序列更清晰,差异具 有统计学意义(P<0.05), 但显 示血友病性关节炎骨表面侵蚀方 面, T<sub>2</sub>WI-TSE-FS、PDWI-TSE-FS序 列比3D-DESS序列显示病变更多, 差异具有统计学意义(P<0.05), 原因与3D-DESS序列本身的T2权重 较重有关,对比度下降,图像上 骨病变信号显示为较低信号,对 软骨下骨及骨髓水肿显示不如常 规SE序列对比度高。3D-DESS序列 与常规SE序列比较显示血友病性 关节病小囊变病变, 差异不具有 统计学意义(P>0.05)。3D-DESS 序列与SE常规序列相比不仅在关 节软骨病变敏感性更高, 而且另 一优势可在较短时间内获得薄层 图像,可讲行MPR多平面重建,获 得所需要的任意层面图像,方便 和清晰地显示关节软骨,减少容 积效应和漏诊,而目前常规SE序 列需要进行多次扫描才能获得多 方位成像,在目前病人较多情况 下, 3D-DESS序列可减少检查扫描 时间,优化序列组合。

3D-DESS序列激发角度与图像信噪比及对比度有很大关系,好度有很大关系更有很大关系更有。 用合适的激发角度可获得更可获得更同激发角度对获得更可获得更可获得的激发角度对描试验,软骨与治验为分别,有的对比信噪比在激发角《60°时较情况,对比信噪比有效,对比有量,对比较发现DESS翻转角度,以下降,时可获得良好的信噪比下为图像质量最佳[11-12],显示关节的信噪比较为图像质量最佳[11-12],显示关节对比度,可早期发现软骨病变。 综上所述,本研究结果表明,与常规SE序列比较,3D-DESS序列能更清晰显示关节软骨病变<sup>[13]</sup>,减少容积伪影,且能进行多平面重建,但对比骨表的进行多平面重建,但对比骨表面侵蚀及小囊变显示不病性关于病检查时需要同时结合常规SE序列和3D-DESS序列观察关节软骨病变,以避免漏诊。本研究关节病变,以避免漏诊。本研院关节线圈,层厚太薄,信噪比降低,图像质量未能达到最佳。

3D-DESS序列具有高敏感性、 关节积液对比度高、扫描时间相 对不长、图像可后处理功能强力 等诸多优点。3D-DESS以高空间 分辨率和对关节透明软骨、韧管 周围积液的优异显示能力,三维 薄层成像对软骨的细微损伤较常 规序列更敏感<sup>[14]</sup>,未来将变对 规序列更敏感<sup>[14]</sup>,未来将变加 过T<sub>2</sub> mapping序列获得关节软骨 位,力求更早发现关节软骨损 伤,并且与3D-DESS图像融合提 高病变定位的准确性,在形态则 友病性关节炎的IPSG评分的准确 性。

综上所述,3D-DESS序列较  $T_2WI-TSE-FS$ 、PDWI-TSE-FS显示关节软骨更清晰,是显示关节软骨 病变的最佳扫描序列之一,对于诊断血友病性关节病的关节软骨 病变有较高的临床应用价值。

## 参考文献

- [1] 宗敏, 冯阳, 邹月芬, 等. 3.0T MR SPACE序列与传统关节软骨三维成像序列比较研究[J]. 临床放射学杂志, 2010, 29(4): 486-489.
- [2] 杨琼, 郑卓肇. DESS、MEDIC、TrueFISP磁共振扫描序列对膝关节软骨成像的比较[J]. 中国医学影像技术, 2010, 26(3): 535-537.
- [3] Lundin B, Manco-Johnson ML, Ignas DM, et al. An MRI scale

- for assessment of haemophilic arthropathy from the International Prophylaxis Study Group [J]. Haemophilia, 2012, 18(6):962-970.
- [4] 刘仕林, 王缨, 曾伟彬, 等. MRI对儿童 血友病性关节病病情严重程度的评估价值及影像特点分析[J]. 中国CT 和MRI杂志, 2017, 15(9): 134-138.
- [5] 邓家栋, 杨崇礼, 杨天楹. 临床血液学 [M]. 2001, 上海: 上海科学技术出版 社, 2001: 1394-1413.
- [6] 朱乐发. 关节软骨双回波稳态序列磁 共振成像研究进展[J]. 实用放射学 杂志, 2012, 28 (11): 1794-1796.
- [7] 杨正汉,冯逢,王霄英. 磁共振成像技术指南: 检查规范、临床策略及新技术应用[M]. 2010,北京:人民军医出版社,2010: 780-781.
- [8] Eckstein F, Hudelmaier M, Wirth W, et al. Double echo steady state magnetic resonance imaging of knee articular cartilage at 3 Tesla: a pilot study for the Osteoarthritis Initiative[J]. Ann Rheum Dis, 2006, 65 (4): 433-441.
- [9] 李洁, 郑卓肇. MRI3D-DESS序列在膝 关节病变诊断中的应用[J]. 实用放 射学杂志, 2011, 27(9): 1386-1389.
- [10] Moriya S, Miki Y, Yokobayashi T, et al. Three-dimensional double-echo steady-state (3D-DESS) magnetic resonance imaging of the knee: contrast optimization by adjusting flip angle[J]. Acta Radiol. 2009, 50(5): 507-511.
- [11] 柯祺,朱乐发,秦红卫. 3D-DESS序列MRI成像参数优化及其在膝关节软骨损伤影像诊断中的应用[J].实用放射学杂志,2013,29(9):1467-1471,1492.
- [12] 李晓燕, 闫恒星, 殷志杰, 等. 3D-DESS序列与常规序列对膝关节软骨显示情况的比较[J]. 滨州医学院学报. 2015, (4): 282-284, 318.
- [13] 李晓芬, 刘明, 查婧, 等. 3D-DESS序列与常规序列对腕关节软骨成像的对比研究[J]. 南昌大学学报(医学版). 2017, (6): 65-67.
- [14] 袁文昭, 邓德茂, 梁继军, 等. 三 维双回波稳态序列观察正常腕 关节软骨[J]. 中国医学影像技术. 2014, (6): 918-921.

(本文编辑: 谢婷婷) 【收稿日期】2019-06-08